

## เอกสารอ้างอิง

ธนาวดี ลี จำกกัย. พลาสติกย่อยสลายได้เพื่อสิ่งแวดล้อม. ปทุมธานี : ศูนย์เทคโนโลยีโลหะและวัสดุแห่งชาติ สำนักงานพัฒนาวิทยาศาสตร์และเทคโนโลยี กระทรวงวิทยาศาสตร์; 2549.

สุกิจ แสงนิพันธ์กุล. กระดูกและกระดูกอ่อน. ขอนแก่น: มหาวิทยาลัยขอนแก่น คณะแพทยศาสตร์ ภาควิชา อรรถโภปิดิกส์; 2534.

Aoki H. **Medical applications of hydroxyapatite**. Tokyo: Ishiyaku EuroAmerica; 1994.

Arcos D, Rodriguez-Carvajal J and Vallet-Regi M. Silicon incorporation in hydroxyapatite obtained by controlled crystallization. **Chemistry of Materials** 2004; 16: 2300-2308.

Azevedo CM, Reis LR, Claase BM, Grijpma WD and Feijen J. Development and properties of polycaprolactone/hydroxyapatite composite biomaterials. **Journal of Materials Science: Materials in Medicine** 2003; 14: 103-107.

Balamurugan A, Rebelo AHS, Lemos AF, Rocha JHG, Ventura JMG and Ferrira JMF. Suitability evaluation of sol-gel derived Si-substituted hydroxyapatite for dental and maxillofacial applications through *in vitro* osteoblasts response. **Dental Materials** 2008; 24: 1374-1380.

Boivin G. The hydroxyapatite crystal: a closer look. **Medicographia** 2007; 29: 126-132.

Brandon D. and Kaplan WD. **Microstructural characterization of Materials**. Chichester: John Wiley & Sons; 1999.

Chappell HF and Bristowe PD. Density functional calculation of the properties of silicon-substituted hydroxyapatite. **Journal of Materials Science: Materials in Medicine** 2007; 18: 829-837.

Choi D, Marra GK and Kumta NP. Chemical synthesis of hydroxyapatite/poly( $\epsilon$ -caprolactone) composites. **Materials Research Bulletin** 2004; 39: 417-432.

Heimann RB. Materials science of crystalline bioceramics: A review of basic properties and application. **Chiang Mai University Journal** 2002; 1: 23-46.

Kim I-S and Kumta PN. Sol-gel synthesis and characterization of nanostructure hydroxyapatite powder. **Materials Science and Engineering B** 2004; 111: 232-236.

Kim SJ, Bang HG, Song JH and Park SY. Effect of fluoride additive on the mechanical properties of hydroxyapatite/alumina composites. **Ceramics International** 2009; 35: 1647-1650.

Kim SR, Lee JH, Kim YT, Riu DH, Jung SJ, Lee YJ, Chung SC and Kim YH. Synthesis of Si, Mg substituted hydroxyapatites and their sintering behaviors. **Biomaterials** 2003; 24: 1389-1398.

Kotela I, Podporska J, Soltysiak E, Konsztowicz KJ and Blazewicz M. Polymer nanocomposites for bone tissue substitutes. **Ceramics International** 2009; 35: 2475- 2480.

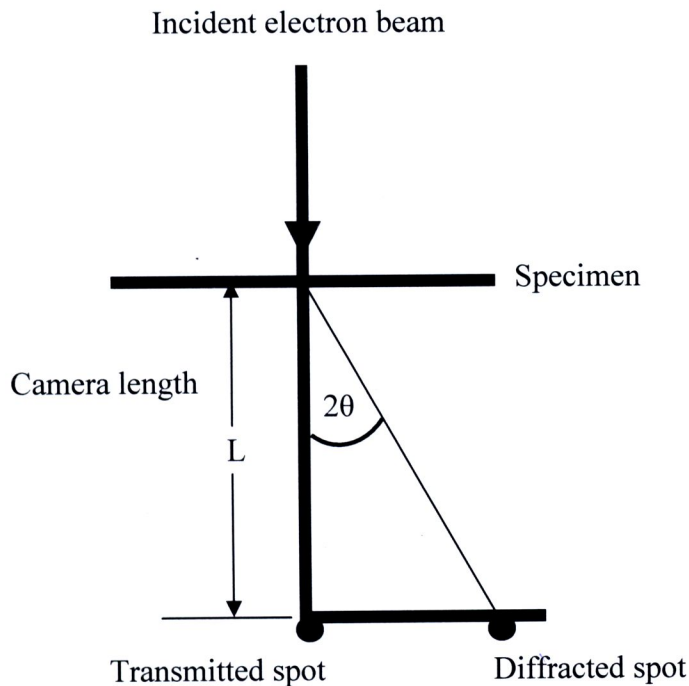
- Kumta PN, Sfeir C, Lee D-H, Olton D and Choi D. Nanostructuerd calcium phosphates for biomedical applications: novel synthesis and characterization. **Acta Biomaterialia** 2005; 1: 65-83.
- LeGeros RZ. **Calcium phosphates in oral biology and medicine.** Monographs in oral science: Vol. 15. Switzerland: Karger; 1991.
- Li C. Crystalline behaviors of hydroxyapatite in the neutralized reaction with different citrate additions. **Powder Technology** 2009; 192, 1-5.
- Mobasherpour I, Heshajin MS, Kazemzadeh A and Zakeri M. Synthesis of nanocrystalline hydroxyapatite by using precipitation method. **Journal of Alloys and Compounds** 2006; 430: 330-333.
- Pavia DL, Lampman GM and Kriz GS. **Introduction to spectroscopy.** Bellingham, USA: Department of Chemistry, Western Washington University; 2001.
- Pietak AM, Reid JW, Stott MJ and Sayer M. Silicon substitution in the calcium phosphate bioceramics. **Biomaterials** 2007; 28: 4023-4032.
- Porter AE, Patel N, Skepper JN, Best SM and Bonfield W. Comparison of *in vivo* dissolution processes in hydroxyapatite and silicon-substituted hydroxyapatite bioceramics. **Biomaterials** 2003; 24: 4609-4620.
- Prabakaran K and Rajeswari S. Spectroscopic investigations on the synthesis of nano-hydroxyapatite from calcined eggshell by hydrothermal method using cationic surfactant as template. **Spectrochimica Acta Part A: Molecular and Biomolecular Spectroscopy** 2009; 74: 1127-1134.
- Riman RE, Suchanek WL, Byrappa K, Chen C-W, Shuk P and Oakes CS. Solution synthesis of hydroxyapatite designer particulates. **Solid State Ionics** 2002; 151: 393-402.
- Rivera EM, Araiza M, Brostow W, Castano VM, Diaz-Estrada JR, Hernandez R and Rodriguez JR. Synthesis of hydroxyapatite from eggshells. **Materials Letters** 1999; 41: 128-134.
- Seet SL. Silicon-substituted calcium phosphate compounds: Synthesis, characterization and bioactivity evaluation. **ScienceAsia** 2009; 35 : 255-260.
- Seo DS and Lee JK. Dissolution of Human Teeth-Derived Hydroxyapatite. **Annals of Biomedical Engineering** 2008; 36: 132-140.
- Shi DL. **Biomaterials and Tissue Engineering.** Berlin, Germany: Springer-Verlag; 2004.
- Shi DL. **Introduction to biomaterials.** Beijing, China: World Scientific; 2006.
- Tang XL, Xiao XF and Lui RF. Structure characterization of silicon-substituted hydroxyapatite synthesized by a hydrothermal method. **Materials Letters** 2005; 59: 3841-3846.
- Vallet-Regi M. Ceramics for medical applications. **Journal of Chemistry Society, Dalton Transactions**. 2001: 97-108.
- Vallet-Regi M and Arcos D. Silicon substituted hydroxyapatites. A method to upgrade calcium phosphate based implants. **Journal of Materials Chemistry** 2005; 15: 1509-1516.

Xu JL and Khor KA. Chemical analysis of silica doped hydroxyapatite biomaterials consolidated by a spark plasma sintering method. **Journal of Inorganic Biochemistry** 2007; 101: 187-195.

**ภาคผนวก**

## ภาคผนวก ก

การวิเคราะห์หาค่าระยะห่างระหว่างรั้งนาน และรั้งนานของผลึกจากรูปแบบการเลี้ยวเบนที่ได้จากเครื่อง TEM โดยการวิเคราะห์ลักษณะของการเกิดการแทรกสอดของอิเล็กตรอนบนฟิล์มแสดงดังภาพที่ ก.1



ภาพที่ ก.1 แผนผังการเกิดรูปแบบการเลี้ยวเบนของผลึกบนฟิล์ม โดยเทคนิค TEM

สำหรับการวิเคราะห์ต้องอาศัยค่า camera constant ที่ผ่านการปรับเทียบแล้ว ดังแสดงในตารางที่ ข.1 โดยในการทดลองใช้ค่า camera constant เท่ากับ 100 cm



**ตารางที่ ก.1 การเปรียบเทียบค่า camera constant โดยตัวอย่างที่ใช้ปรับเทียบคือ ทองคำ (Au) และความต่างศักย์ที่ใช้เร่งอิเล็กตรอนในเครื่อง TEM เท่ากับ 200 kV**

L (cm)	D <sub>III</sub> Au (mm)	R <sub>III</sub> Au (mm)	d <sub>III</sub> Au (Å)	Lλ (mm Å)	λ (Å)
40	8.7	4.36	2.355	10.2442	0.0256
60	13.2	6.60	2.355	15.5430	0.0259
80	17.2	8.60	2.355	20.2530	0.0253
<b>100</b>	<b>21.2</b>	<b>10.60</b>	<b>2.355</b>	<b>24.9630</b>	<b>0.0249</b>
120	25.2	12.60	2.355	29.6730	0.0247
150	31.5	15.75	2.355	37.0912	0.0247
200	41.5	20.75	2.355	48.8662	0.0244
250	51.8	25.90	2.355	60.9945	0.0243

โดยที่  
เพราะจะนั่น

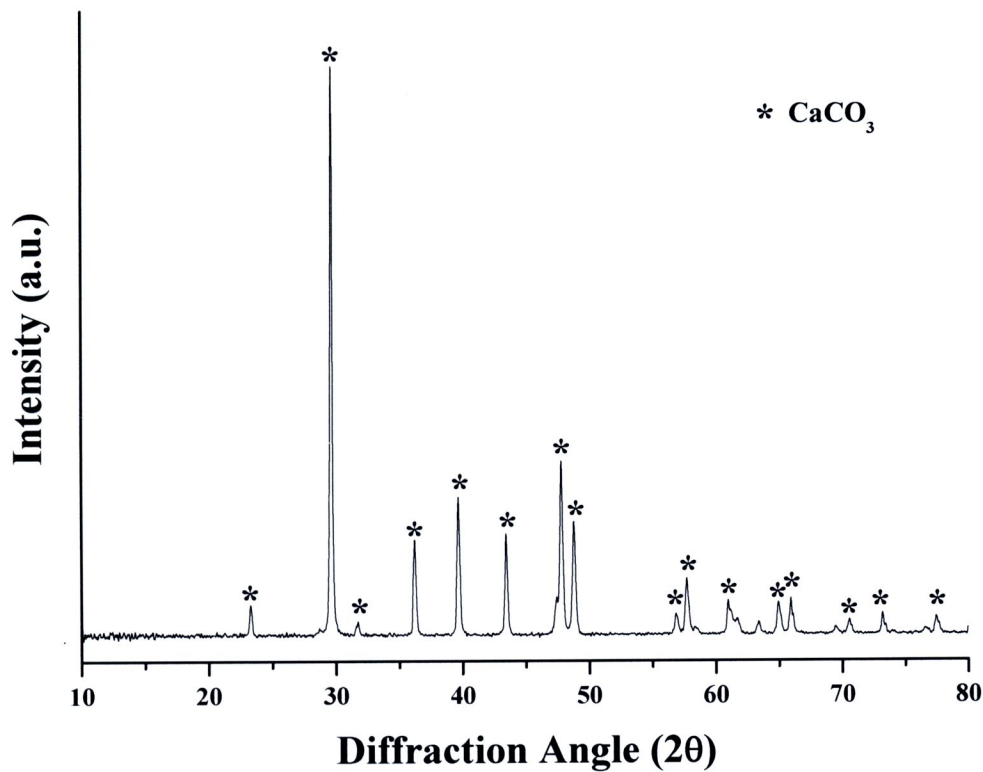
$$\text{camera constant} = L\lambda = R d_{hkl}$$

$$d_{hkl} = \frac{L\lambda}{R}$$

- เมื่อ  $d_{hkl}$  คือ ระยะห่างระหว่างระนาบ
- $R$  คือ ระยะห่างระหว่างจุดสว่างลำดับ  $n$  กับจุดสว่างกลาง
- $\lambda$  คือ ความยาวคลื่นของลำอิเล็กตรอน
- $L$  คือ ระยะห่างระหว่าง specimen ถึงฟิล์ม

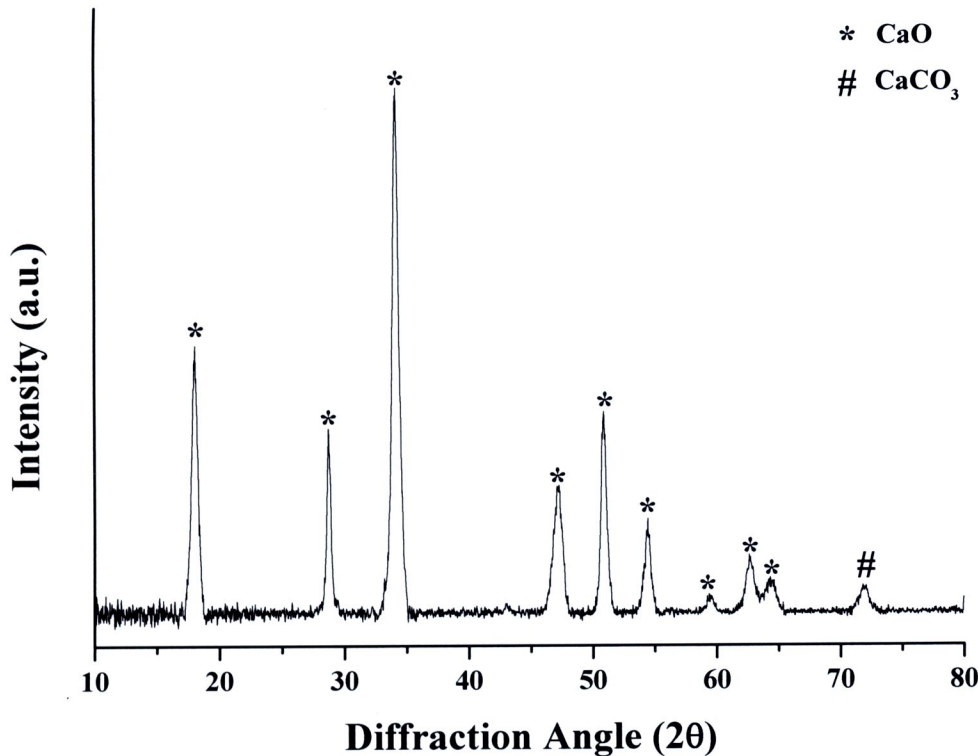
### ภาคผนวก ข

รูปแบบการเลี้ยวเบนรังสีเอ็กซ์ของเปลือกไข่ไก่คิบคละເອີຍດ พ布ວ່າເຟສທີ່ເກີດຂຶ້ນເປັນເຟສຂອງແຄລເຊີມ ອາຮົນອນເຕ (CaCO<sub>3</sub>) ຊື່ສອດຄລ້ອງກັບຈານວິຊາຂອງ Rivera ແລະ ຄພະ (Rivera et al., 1999) ແສດງດັ່ງການທີ່ ຂ.1



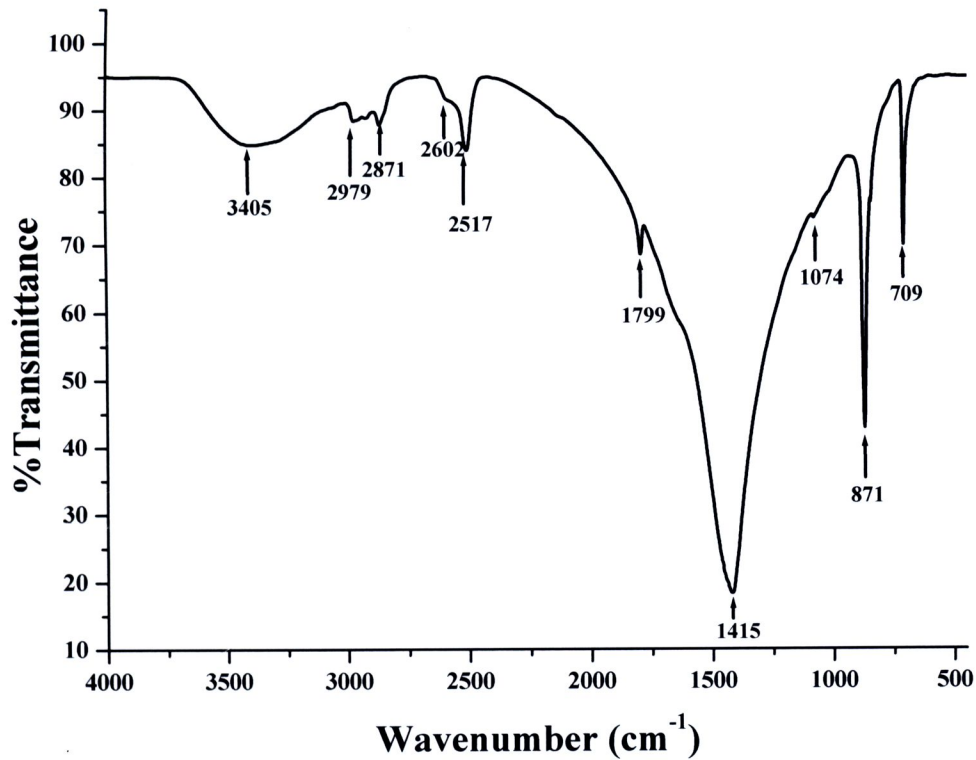
ກາພທີ່ ຂ.1 ຮູບແບບກາຣເລີຍວະບັນຂອງຮັງສີເອັກຊ໌ຈາກເຖົນິກ XRD ຂອງເປົລືອກໄຟ້ໄກ່ຄົບຄຸດລະເອີຍດ

รูปแบบการเลี้ยวเบนรังสีเอ็กซ์ของเปลือกไข่ไก่เผาที่  $1000^{\circ}\text{C}$  เป็นเวลา 2 ชั่วโมง พบว่าเฟสหลักที่เกิดขึ้นเป็นเฟสของแคลเซียมออกไซด์ ( $\text{CaO}$ ) และมีเฟสของแคลเซียมคาร์บอนेट ( $\text{CaCO}_3$ ) เจือปนเล็กน้อย ซึ่งสอดคล้องกับงานวิจัยของ Rivera และคณะ (Rivera et al., 1999) แสดงดังภาพที่ ข.2



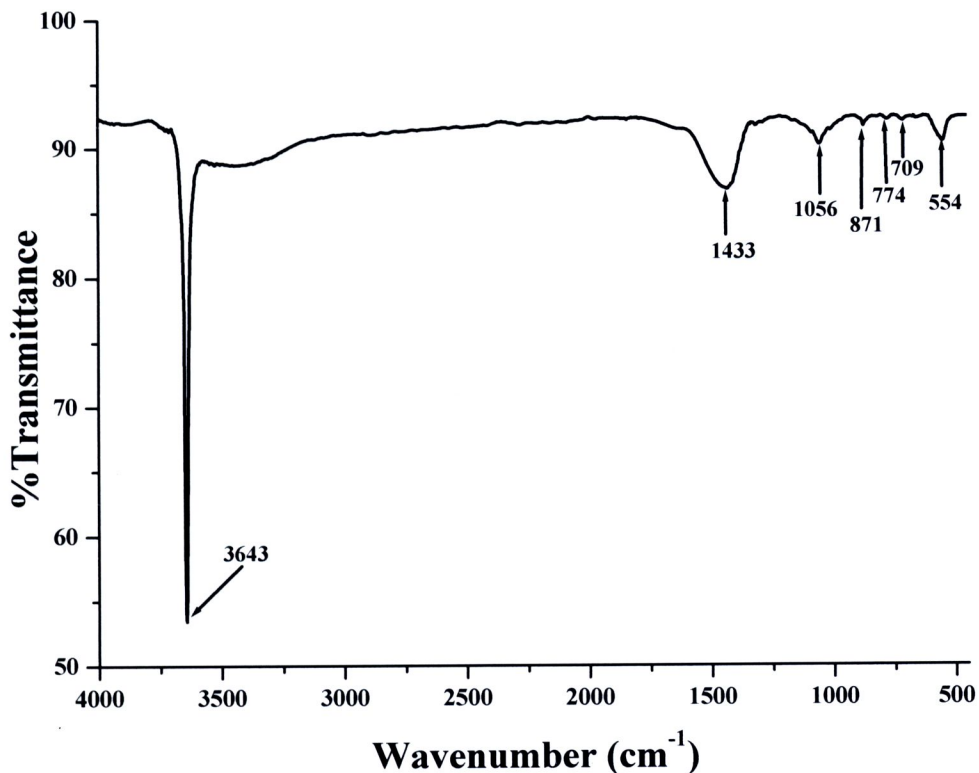
ภาพที่ ข.2 รูปแบบการเลี้ยวเบนของรังสีเอ็กซ์จากเทคนิค XRD ของเปลือกไข่ไก่เผาที่  $1000^{\circ}\text{C}$  เป็นเวลา 2 ชั่วโมง

แสดงการวิเคราะห์ด้วยเทคนิค FTIR ของเปลือกไข่คิบ พนว่ามีกลุ่มของ  $\text{CO}_3^{2-}$  และ  $\text{OH}^-$  เกิดขึ้นที่ตำแหน่งต่างๆ แสดงดังภาพที่ ข.3



ภาพที่ ข.3 อินฟราเรดสเปกตรัมของเปลือกไข่คิบคละເອີຍດ

แสดงการวินิจฉัยที่ด้วยเทคนิค FTIR ของเปลือกไข่ไก่เผาที่  $1000^{\circ}\text{C}$  เป็นเวลา 2 ชั่วโมง พบร่วมกับกลุ่มของ  $\text{CO}_3^{2-}$  และ  $\text{OH}^-$  เกิดขึ้นที่ตำแหน่งต่างๆ แสดงดังภาพที่ ข.4



ภาพที่ ข.4 อินฟราเรดสเปกตรัมของเปลือกไข่ไก่เผาที่  $1000^{\circ}\text{C}$  เป็นเวลา 2 ชั่วโมง



## ประวัติผู้เขียน

นางสาวนาศกร โภวันนัง เกิดเมื่อวันที่ 4 มิถุนายน พ.ศ. 2527 ที่บ้านบะယาว ตำบลบุ่งแก้ว อำเภอโนนสะอาด จังหวัดอุดรธานี จบการศึกษาระดับประถมศึกษาจากโรงเรียนบ้านบะယาวและเข้าศึกษาต่อในระดับมัธยมศึกษาที่ โรงเรียนอุดรพิชัยรักษ์พิทยา หลังจากจบชั้นมัธยมศึกษาปีที่ 6 ได้สอบเข้าเรียนต่อระดับปริญญาตรี สาขาวิชาฟิสิกส์ ภาควิชาฟิสิกส์ คณะวิทยาศาสตร์ มหาวิทยาลัยราชภัฏอุดรธานี ในปีการศึกษา 2545 และสำเร็จการศึกษาระดับปริญญาตรีในปีการศึกษา 2549

ในปี พ.ศ. 2549 ได้เข้าศึกษาต่อในระดับปริญญาโท สาขาวิชาฟิสิกส์ คณะวิทยาศาสตร์ มหาวิทยาลัยขอนแก่น โดยเลือกทำวิทยานิพนธ์เรื่อง การเตรียมและการศึกษาสมบัติเชิงกลของวัสดุเชิงประกอบของสารไฮดรอกซีอะพาไทต์ที่มีซิลิคอนในโครงสร้างและพอลิคิโพแรแคลโทน

### ผลงานวิจัยที่ได้ตีพิมพ์

1. Towannang M. and Limpanuphap S. Synthesis of silicon-substituted hydroxyapatite from eggshells a precipitation method. **The 11<sup>th</sup> graduate Research Conference, Khon Kaen University 2010.** pp. 884-888.

### ผลงานวิจัยที่ได้นำเสนอ

1. Towannang M. and Limpanuphap S. Synthesis of hydroxyapatite from eggshells by precipitation method. **The 2<sup>nd</sup> Thailand Nanotechnology Conference 2008,** Thailand on August 13-15, 2008. (Oral presentation)
2. Towannang M. and Seet S. Synthesis of hydroxyapatite powders from eggshells and silicon-substituted hydroxyapatite (Si-HA) by a chemical precipitation method. **The 4<sup>th</sup> Siam Physics Congress 2009,** 19-21 March 2009, Thailand. (Poster presentation)
3. Towannang M. and Limpanuphap S. Synthesis of silicon-substituted hydroxyapatite from eggshells a precipitation method. **The 11<sup>th</sup> graduate Research Conference, Khon Kaen University 2010,** 12 February 2010. (Poster presentation)

